

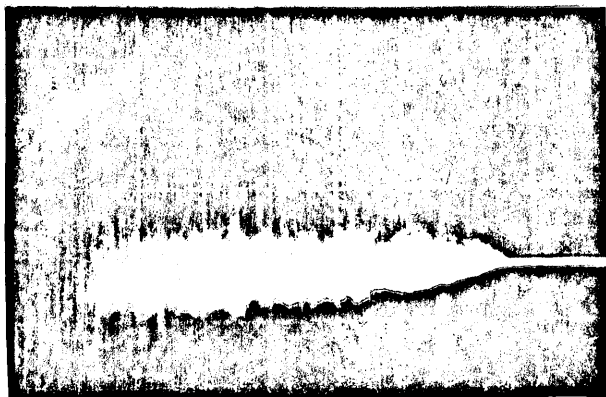
Compte-rendu de MD du 16. 9. 1969

Présents: H. Bonnin, J. Jamšek, G. Roux.

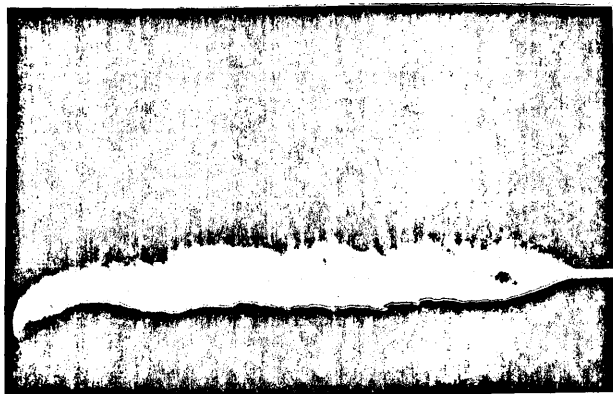
Quelques difficultés avec l'accélération nous ont obligés à céder une partie de notre temps de MD aux chimistes, et nous avons perdu ainsi 1 heure 30 minutes environ.

- I. Afin de pouvoir mesurer les fréquences d'accord des unités d'accélération pendant que  $V_{RF} = 0$ , nous avons mis en service successivement (cavité par cavité) notre système de mesure à distance de  $I_a$ -tuning final, en observant simultanément au bâtiment central le comportement de l'ensemble, en particulier si le système restait stable. Ces précautions ont été nécessaires parce que nous avons déjà eu des difficultés avec un montage expérimental (question des terres). Lors de ces essais, nous n'avons pas rencontré ces difficultés. Actuellement, des signaux de  $I_a$  existent au bâtiment central, mais ils ne sont pas encore tous exploitables (bruit, différentes sensibilités des discriminateurs de phase, etc.). La fréquence d'accord peut être déterminée à l'aide des courbes correspondantes.
- II. Nous avons testé les stations PU 23 et 83 dans le système d'asservissement du faisceau. Il n'y a pas d'inconvénient pour leur utilisation.
- III. L'optimisation du dégroupage avec l'accord des cavités pendant que  $V_{RF} = 0$ , a été effectuée partiellement pendant MD, partiellement pendant le "setting up". Nous n'avons pas encore eu assez de temps pour effectuer des mesures systématiques, mais il est évident que

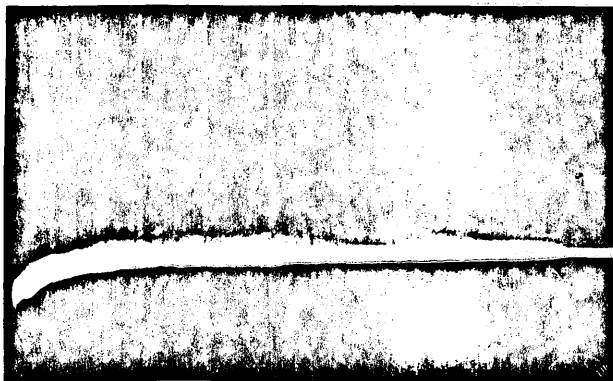
la contribution de l'accord des cavités sur la qualité du faisceau dégroupé est considérable. Les 3 photos prises le 19 septembre au matin mettent en évidence cette amélioration. Elles présentent la partie du faisceau dégroupé vu par la station d'observation à large bande (PU 92). L'échelle verticale est la même pour les 3 photos (50 mV/div.).



Procédé de dégroupage ...  
TA, BT2, TB.



Procédé de dégroupage ...  
TA, BT2, TB,  $V_{RF} \rightarrow 0$ .



Procédé de dégroupage  
TA, BT2, TB,  $V_{RF} \rightarrow 0$ ,  
désaccord des cavités.

Fréquences d'accord approxi-  
matives:

Groupe 1	4,7 MHz
" 2	2,6 MHz
" 3	10,5 MHz
" 4	7,3 MHz

Remarque: La déformation de la ligne de base au début provient de la saturation de l'amplificateur de l'oscilloscope par le signal non dégroupé (3 V) qui précède notre photo.

J. Jamšek

Distribution:

Personnes présentes  
Y. Baconnier  
O. Barbalat  
D. Dekkers  
L. Henny  
H.G. Hereward  
U. Jacob  
J.H.B. Madsen  
G. Plass  
G. Rosset  
P.H. Standley